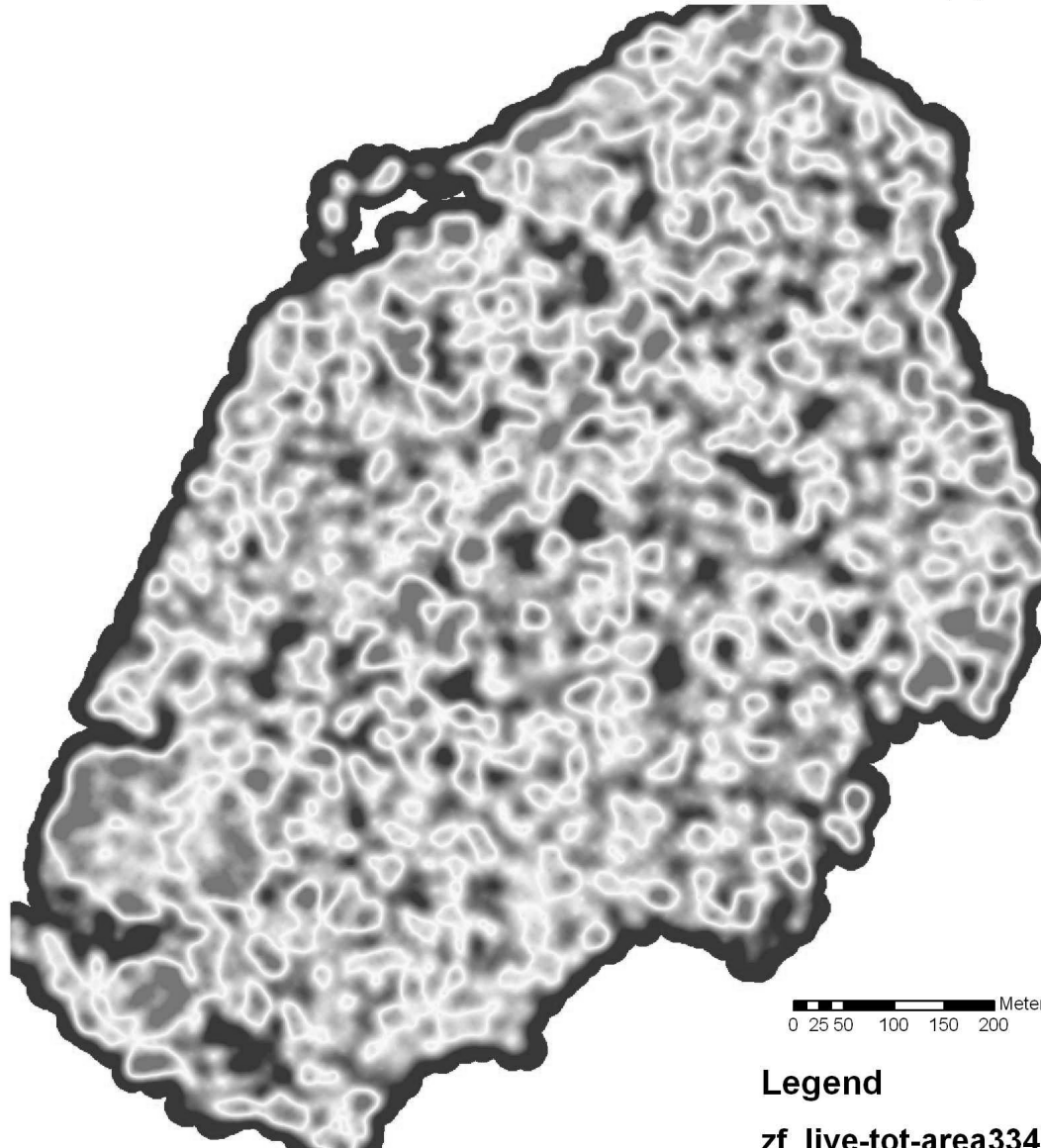


Prípádová studie - NPR Žofínský prales

Kruhová výčetní základna živých



Legend

zf_live-tot-area334.tif

Value

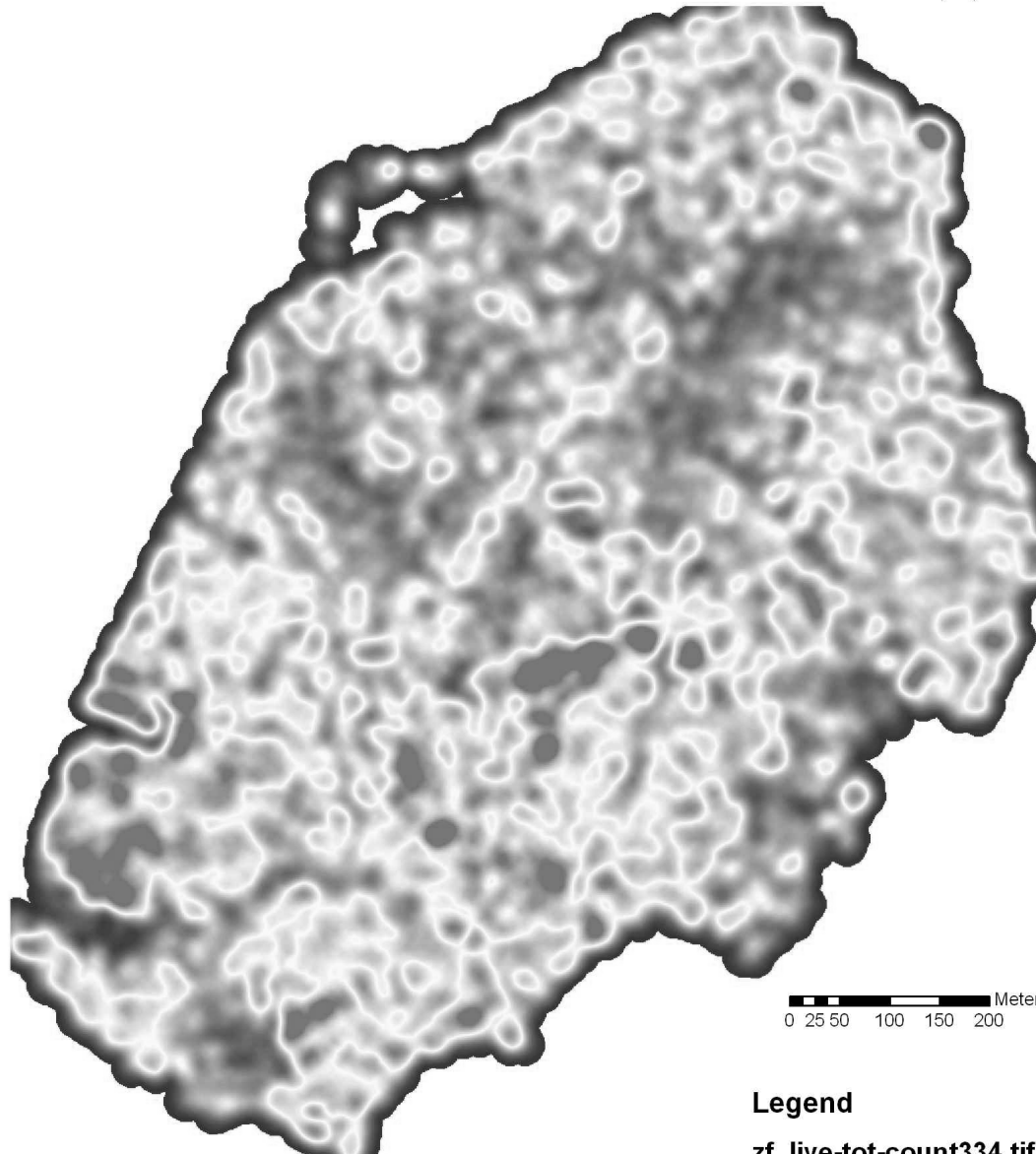


Legend

zf live-tot-area334.tif

Prípádová studie - NPR Žofínský prales

Počet živých stromů



Legend

zf_live-tot-count334.tif

Value

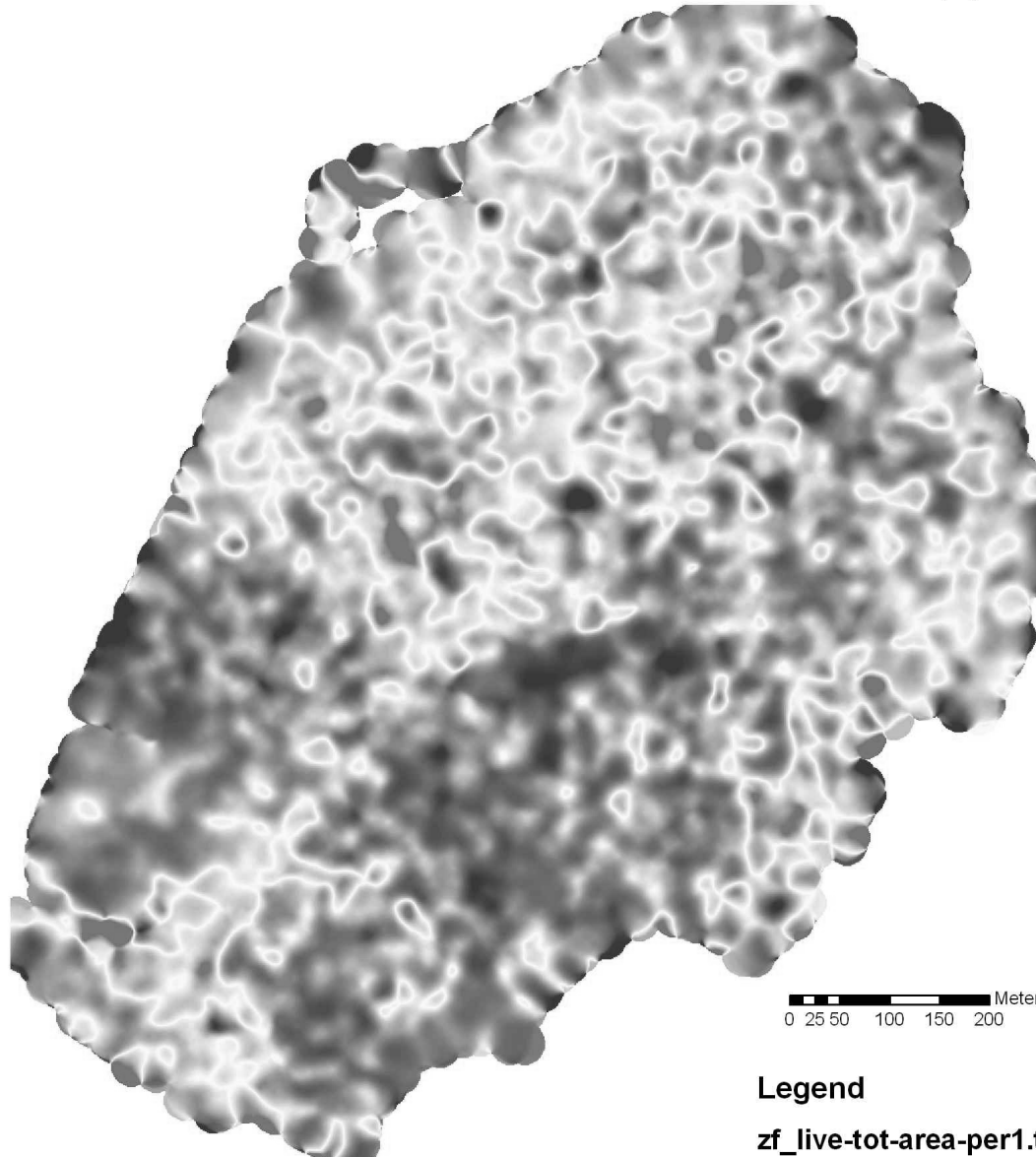


Legend

zf_live-tot-count334.tif

Prípádová studie - NPR Žofínský prales

BA per 1 tree



0 25 50 100 150 200 Meters

Legend

zf_live-tot-area-per1.tif

Value

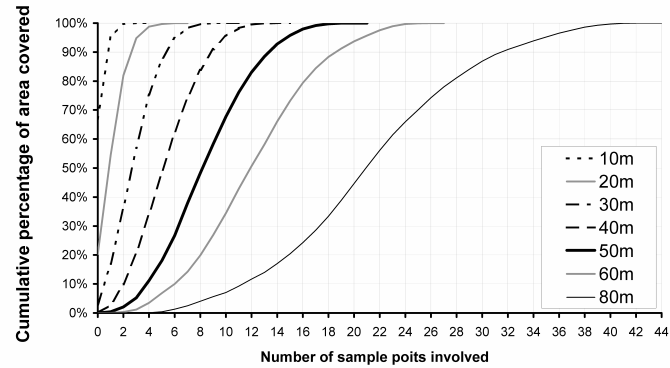


Legend

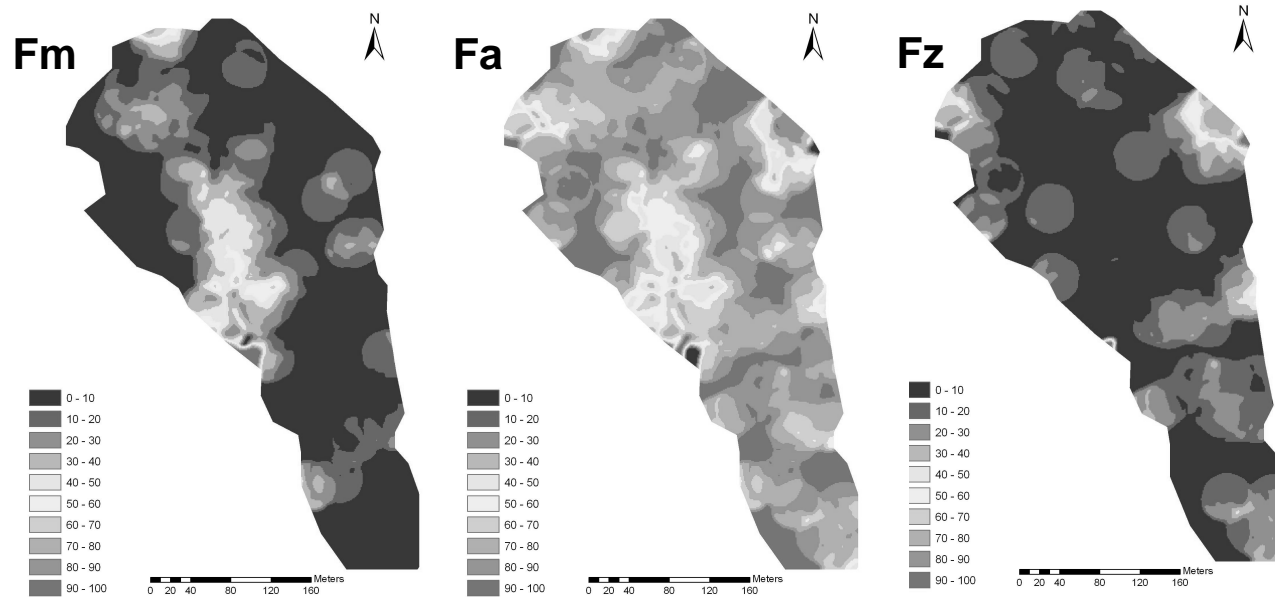
zf_live-tot-area-per1.tif

Razula – interpolace bodových dat – výzkum humusových forem

Pocet zaujatých kontrol v závislosti na velikosti kruhu

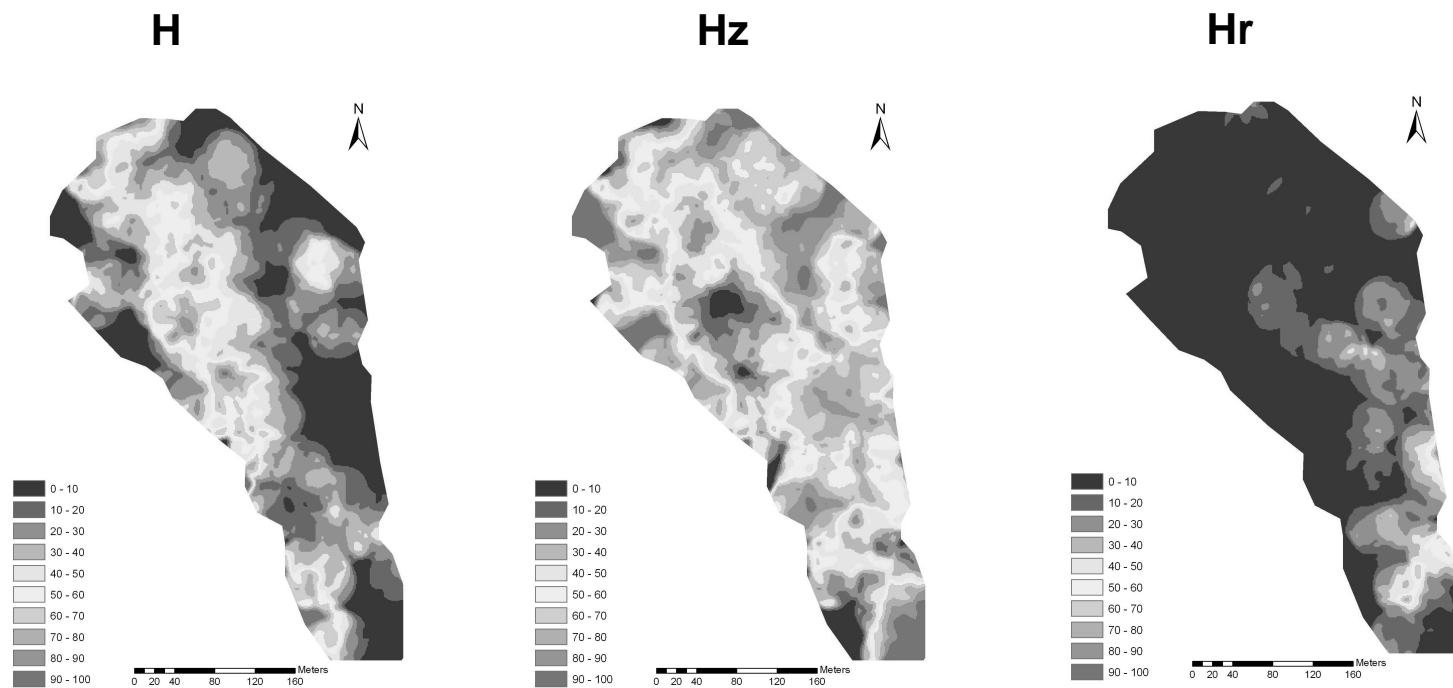


Mapky lokálního zastoupení a diverzity forem humusových horizontu



Razula – interpolace bodových dat

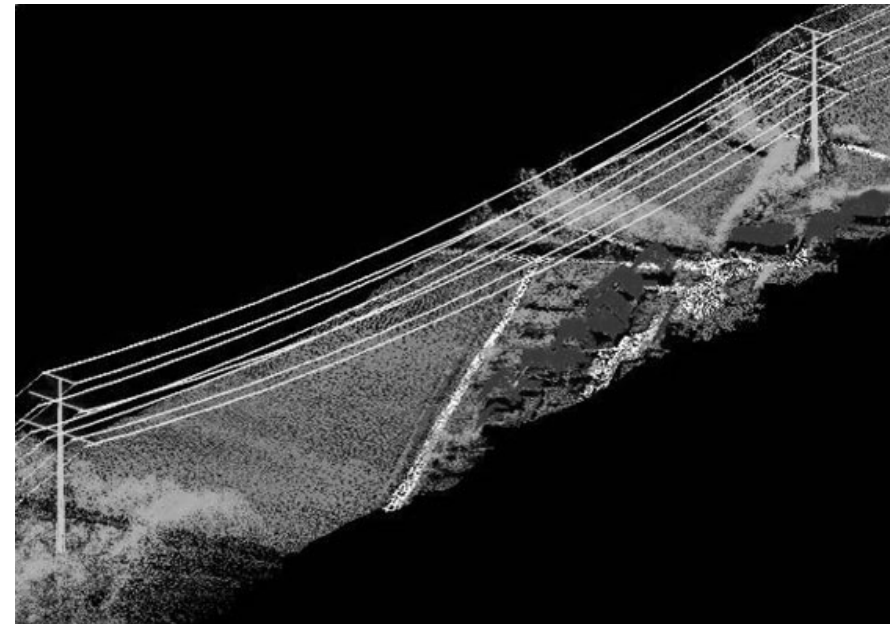
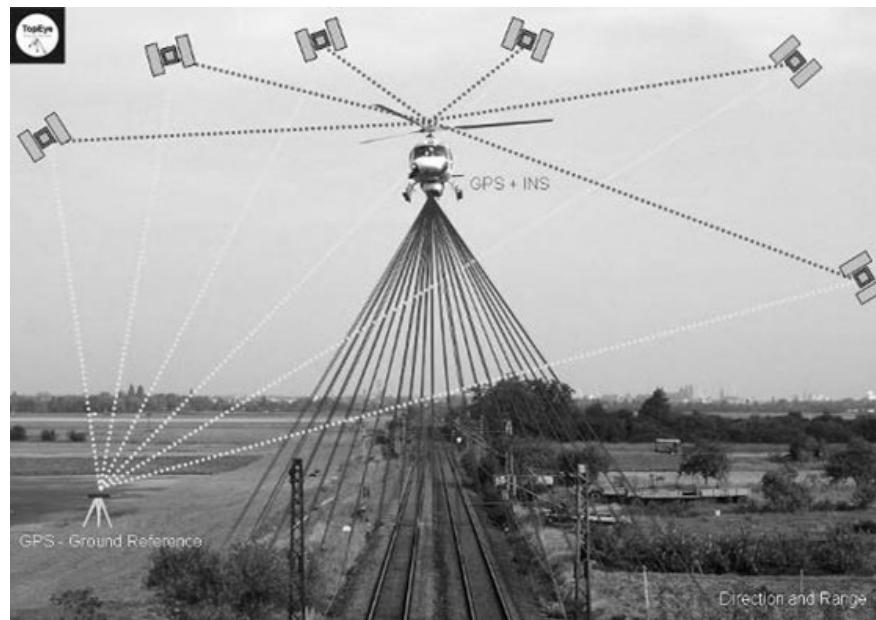
Mapky lokálního zastoupení a diverzity forem humusových horizontu (H)



Letecké laserové skenování

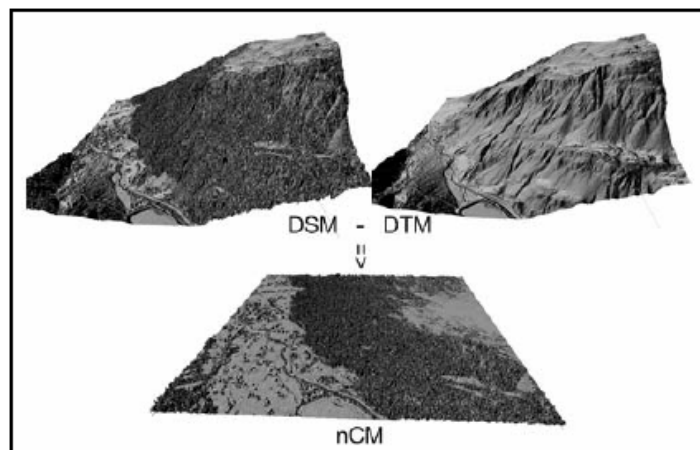
(též LIDAR - Light Detection and Ranging)

- Aktivní DPZ
- Schopnost pronikat porostními mezerami a korunami
- Vysoká polohová presnost
- Vysoká hustota bodu
- Vlastní formát dat – mracna bodu



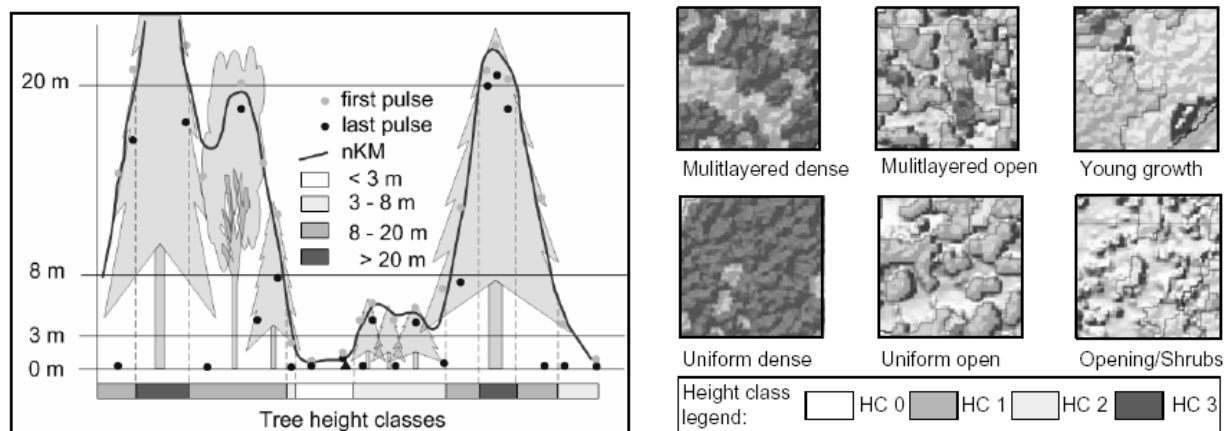
a) Hodnocení textury porostu pomocí modelu korun (nCM)

Výhodou tohoto postupu je vysoký stupeň předzpracování laserových dat, který umožňuje pro další zpracování použít stávající rastrové orientované GIS. Nevýhodou je ztráta informace o patrovitosti strukturálně bohatších porostů vedoucí k velmi omezenému hodnocení jejich struktury.



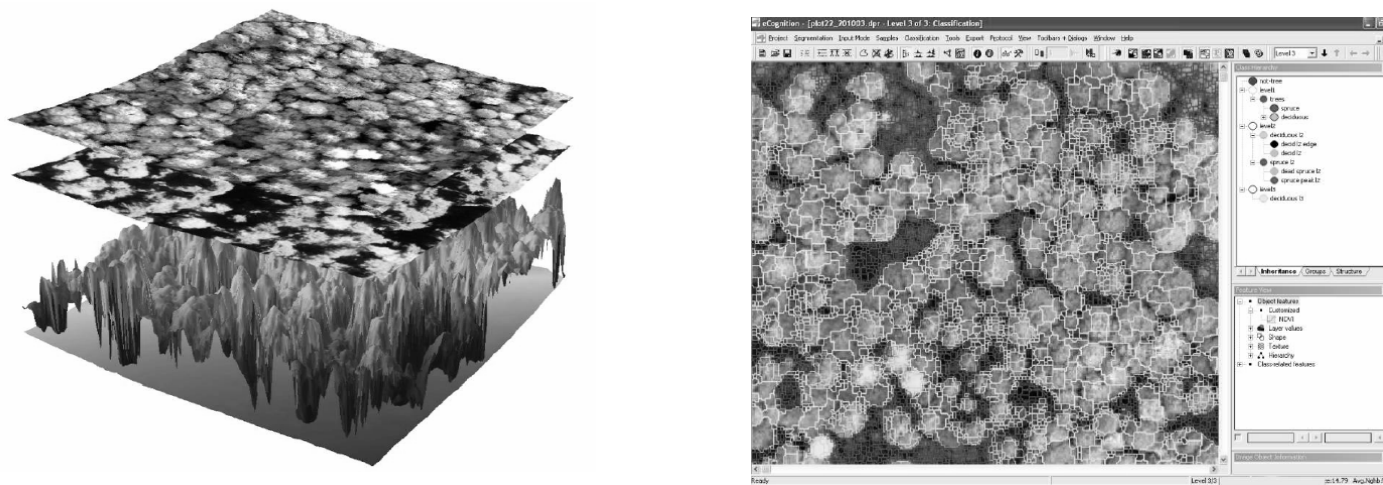
Obr. 1: Způsob výpočtu normalizovaného korunového modelu (nCM) na základě DSM a DTM.

... vyjadruje absolutní výšku povrchu (vrchních) korun v daném místě porostu. Porostní světliny bez přirozeného zmlazení mají v tomto vyjádření nulovou hodnotu



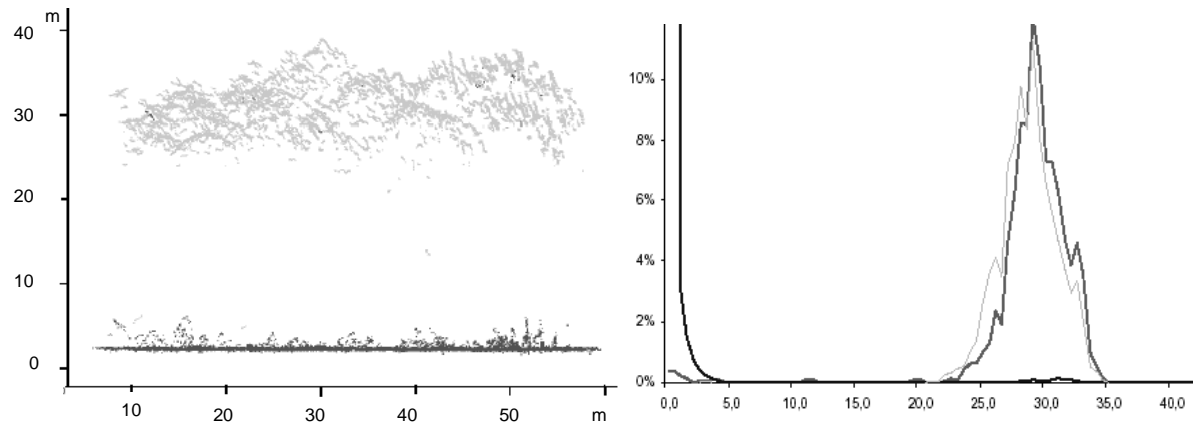
Obr. 2: Hodnocení textury porostu pomocí klasifikace dat nCM do několika výškových tříd a následného hodnocení prostorové mozaiky jejich výskytu (Maier et al. 2005).

b) Segmentace stromu a porostních prvku pomocí vícevrstevných prostorových dat

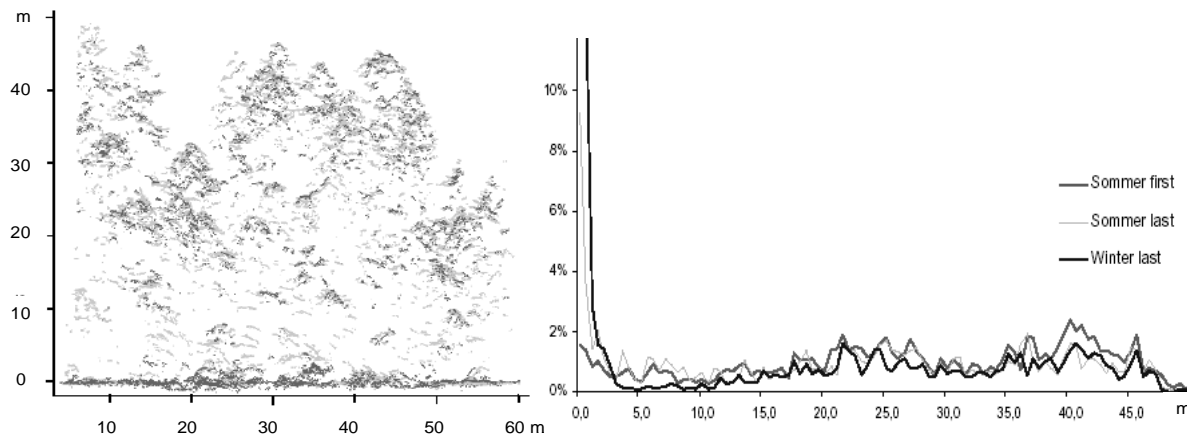


Obr. 3: Objektově orientovaná klasifikace korun a porostních prvků na základě spojených dat optického a laserového DPZ v programu eCognition (Tiede et al. 2004).

c) Hodnocení porostní struktury pomocí ‚surových dat‘ LIDARu



Obr. 4: Vertikální struktura jednoetážového bukového porostu se zmlazením (Heurich 2005).



Obr. 5: Vertikální struktura více-etážového smrko-jedlového porostu (Heurich 2005).

Literatura:

- A. Knagas, M. Maltamo (eds.), 2006: Forest Inventory – Methodology and Applications. Springer, 362 p.
- James Conolly, Mark Lake, 2006: Geographical Information Systems in Archeology. Cambridge University Press, 338 p.
- J.R. Eastman, 2003: IDRISI Kilimanjaro – Guide to GIS and Image Processing, Manual - Version 14.00. Clark Labs, Clark University, Worcester.
- Ian Heywood, Sarah Cornelius, Steve Carver 2006: Geographical Information Systems. Pearson Prentice Hall, 426 p.
- C.P. Lo, A.K.W. Yeung, 2007: Concepts and Techiques in Geographic Information Systems. Pearson Prentice Hall, 532 p.

Zajímavé odkazy:

- <http://www.forestreserves.com/index.php>